

ارزیابی میزان دقت مدل هیبرید برنامه‌ریزی بیان ژن - منطق فازی در برآورد خطر رخداد فرونشست زمین و عوامل مؤثر بر آن (مطالعه موردنی: آبخوان ورامین)

غزاله محی تقرشی^{*}، محمد نخعی^{*} و راضیه لک^{*}

دانشجوی دکترا، گروه زمین‌شناسی کاربردی، دانشکده علوم زمین، دانشگاه خوارزمی، تهران، ایران

استاد، گروه زمین‌شناسی کاربردی، دانشکده علوم زمین، دانشگاه خوارزمی، تهران، ایران

دانشیار، پژوهشکده علوم زمین، سازمان زمین‌شناسی و اکتشافات معدنی کشور، تهران، ایران

تاریخ پذیرش: ۱۳۹۸/۰۷/۲۱ تاریخ دریافت: ۱۳۹۸/۰۶/۱۰

چکیده

فرونشست زمین فرآیندی غیرخطی و پیچیده است که مدل‌های هوش محاسباتی داده مبنای هستند بدون تقریب و ساده سازی به مدل‌سازی آن پردازند. در این مطالعه میزان دقت و کارایی مدل هیبرید برنامه‌ریزی بیان ژن - منطق فازی در برآورد خطر رخداد فرونشست زمین و عوامل مؤثر بر آن در آبخوان ورامین مورد ارزیابی قرار گرفت. بدین منظور پس از انتخاب و جمع‌آوری اطلاعات ۱۵ فاکتور مؤثر بر رخداد فرونشست بر اساس سوابق تحقیق در محیط GIS، در مرحله اول توسط توابع عضویت فازی، استاندارد شدن و سپس جهت تلفیق لایه‌ها از روش برنامه‌ریزی بیان ژن استفاده گردید. در نهایت با استفاده از ۷ سنجنده آماری مهم بر مبنای داده‌های تصاویر رادار به صحت سنجی مدل در ۴ سناریوی متفاوت در داده‌های ورودی و عملگرها پرداخته شد. نتایج نشان داد سناریوی ۱ با پارامترهای ورودی تراز سنگ بستر، دبی، افت آب‌های زیرزمینی، زمین‌شناسی و عملگرها، \div , \times -+, sqr , exp , Ln , $\wedge 2$, $\wedge 3$, $3Rt$, sin , cos , $Atan$ تأثیر را بر میزان فرونشست زمین در منطقه مورد مطالعه داشته است.

کلیدواژه‌ها: آبخوان ورامین، فرونشست زمین، برنامه ریزی بیان ژن، منطق فازی، سیستم اطلاعات جغرافیایی.

E-mail: std_gh.mohebbi@knu.ac.ir

*نویسنده مسئول: غزاله محی تقرشی

۱- پیش‌نوشتار

(Wang et al., 2018; Oh et al., 2019) و روش برنامه‌ریزی بیان ژن (GEP) (Parhizkar et al., 2015) در محیط سیستم اطلاعات جغرافیایی (GIS) مورد تجزیه و تحلیل قرار می‌گیرد. از جمله این تحقیقات می‌توان به (Burbey 2002) اشاره کرد که اثر گسل‌ها را در حوضه‌های رسوی پر شده در تحت البحر نوادا در ایالات متحده بر تغییر شکل سطحی و ایجاد فرونشست برسی کرد. وی نتیجه گرفت که در زهه‌های مجاور گسل‌ها که به عنوان مانعی برای جریان یا یک انسداد مکانیکی عمل می‌کنند، منجر به تغییر شکل افقی می‌شوند. بر عکس، درزه‌هایی که به عنوان مسیری برای عبور و جریان آب رفتار می‌کنند، منجر به ایجاد تغییر شکل عمودی می‌شوند. در تحقیق دیگری در شهر سامچوک کشور کره جنوبی (2009) Kim et al. برای پیش‌بینی فرونشست زمین، از شبکه عصبی مصنوعی و سیستم‌های اطلاعات جغرافیایی استفاده کردند. بر این اساس، یک پایگاه داده مکانی برای معیارهای مؤثر در ارزیابی عوامل حاکم بر فرونشست ایجاد شد. سپس نقشه خطر فرونشست بر اساس داده‌های اندازه‌گیری شده از تصاویر رادار در محیط GIS ترسیم گردید. در نهایت، نقشه خطر فرونشست زمین بدست آمده بر اساس مدل ارائه شده با داده‌های اندازه‌گیری شده، دقت ۹۶٪ را نشان داد. (Oh and Lee 2010) برای ارزیابی فرونشست زمین، مدل WOE را در محیط GIS با استفاده از هفت عامل اصلی شامل عمق گسل‌ها، فاصله گسل، شبیه به دست آمده از نقشه‌های توپوگرافی، عمق آب‌های زیرزمینی، قابلیت فروریزش بر اساس اطلاعات گودال‌ها و فروچاله‌ها، جنس زمین‌شناسی و کاربری اراضی ارائه دادند. (Putra et al. 2011) در تحقیقی خطر فرونشست زمین در منطقه رانکوب اندونزی را ارزیابی کردند. آنها نقشه خطر فرونشست خود را براساس پنج پارامتر شبیه، سنگ‌شناسی، ارتفاع، فاصله تا گودال‌ها و فروچاله‌ها و کاربری اراضی تهیه کردند.

(Park et al. 2012) از ترکیب سیستم‌های اطلاعات جغرافیایی و سیستم استنتاج عصبی - فازی در شهر سامچوک کره جنوبی استفاده نمودند. برای این کار از پنج عامل اصلی مؤثر در فرونشست از جمله عمق گسل، فاصله از گسل، شبیه،

فرونشست زمین، پدیده زمین‌شناسی شهری خطرناکی است که در سال‌های اخیر، در بسیاری از شهرهای جهان رخ داده است (Chen et al., 2019). فرونشست زمین، مطابق با تعریف یونسکو، به عنوان نشست تدریجی یا فرو رفتن ناگهانی به سمت پایین سطح زمین که ممکن است بردار جابجایی افقی کمی داشته باشد، شناخته می‌شود (UNESCO, 2018). این پدیده باعث آسیب به محیط طبیعی و حتی خسارات اقتصادی می‌شود (Hu et al., 2004). فرونشست زمین یکی از پیامدهای استفاده بیش از حد و سوء مدیریت منابع آب است که به دلیل فشرده‌سازی خاک در اثر کاهش سطح آب‌های زیرزمینی رخ می‌دهد (Pacheco et al., 2006). بر این اساس، این خطر زمین‌شناسخی شایع که معمولاً ناشی از پمپاژ بیش از حد آب‌های زیرزمینی است، در بسیاری از مناطق از جمله رفتستان (Mousavi et al., 2001)، شانگهای (Phien-wej et al., 2006)، بانکوک (Hu et al., 2004)، کاشمر (Motagh et al., 2007)، مشهد (Lashkaripour et al., 2006)، مکزیکوستی (Calderhead et al., 2011)، کالیفرنیا (Lixin et al., 2011)، تیانجين (Chen et al., 2013)، (Galloway and Burbey, 2011) (Rajabi and Ghorbani, 2016) و تهران (Mahmoudpour et al., 2013)، به طور گسترده گزارش شده است. خسارت شدید از جمله از بین رفتن سطح زمین، ترک خوردگی ساختمانها، شکستگی در خطوط زیرزمینی و حمل و نقل و افزایش خطر سیل ناشی از فرونشست زمین است.

مطالعات بی‌شماری در سراسر جهان وجود دارد که بر پهنه‌بندی خطر فرونشست زمین و عوامل مؤثر بر آن متصرک شده‌اند. در مطالعات اخیر، احتمال رخداد فرونشست زمین با استفاده از نتایج تحقیقات زمین‌شناسی و هیدرولوژیک، روشهای آماری، روش منطق فازی (Choi et al., 2010; Gu and Wang, 2010; Rafie and Samimi Namin, 2015; Yu et al., 2018; (ANN) (Chanapathi et al., 2019 Suh et al., 2013; Abdollahi et al., 2018; Tien Bui et al., 2018;)

(Berberian and King, 1981). منطقه به دو بخش دشت و کوه تقسیم می شود. فرآیندهای زمین ساختی، به خصوص چین خوردگی رسوبات ترشیری، می تواند به عنوان منشأ ایجاد کوهها مطرح شود. رخنمونهای زمین شناسی موجود در منطقه (شکل ۲) شامل تشکیلات متنوعی است که بیشتر آنها ماسه سنگ، شیل، مارن و کنگلومرای با سن اثوسن تا کواترنری است (Sadeghi et al., 2006). نهشته های پلیسون و کواترنر در مناطق شمالی و شمال خاوری شریف آباد، جنوب روستاهای شاه قاضی و یوسف آباد و شمال خاوری و جنوب جاده ورامین - ایوانکی دیده می شوند که با توجه به نقشه های مجاور، بیشتر آنها از نهشته های معادل کنگلومرای سازند هزارداره تشکیل شده اند (Sadeghi et al., 2006). سازند های مرز شمالی و شمال خاوری منطقه اغلب مربوط به سنگ های آتشفسانی و مارن اثوسن، آهک الیگومیوسن و همچنین شیل و سیلت همراه با رسوبات تبخیری میوسن است (Sadeghi et al., 2006). بخشی از گسل های ایوانکی، کهریزک، پارچین و پیشوای آبخوان ورامین واقع شده است و بر حکایت تکتونیکی مژده است با شبیه شمالي است که روند آن شمال باختری - جنوب خاوری است (IIIES, 2010). گسل پیشوای یک گسل تراستی با شیبی به سمت شمال خاوری است که رسوبات کواترنر را شکافته و مرز بین کوهها و دشت های شهر پیشوای تشكیل می دهد (IIIES, 2010). گسل کهریزک نیز یک گسل تراستی با شبیه به سمت شمال است (IIIES, 2010). از دیدگاه هیدروژئولوژی، آبخوان ورامین در حال حاضر به عنوان یک آبخوان آزاد شناخته می شود (Nakhaei et al., 2019). بیشترین ضخامت آن در مرکز بخش شمالی آبخوان، ۲۸۰ متر (شکل a-۳) و کمترین ضخامت در قسمت جنوب باختری آبخوان کمتر از ۵۰ متر است (Shemshaki et al., 2006). (IIIIES, 2014). حداکثر قابلیت انتقال در شمال آبخوان بیش از ۳۰۰۰ متر مربع در روز تخمین زده می شود (Mokhtari and Espahbod, 2009). این میزان به دلیل تغییر قابل توجه در ضخامت آبخوان یا اندازه ذرات رسوبات، به سمت نیمه جنوبی آبخوان کاهش می یابد. بر این اساس، حداکثر مقدار قابلیت انتقال در نیمه جنوبی و خاوری آبخوان تا ۱۵۰ متر مربع در روز است (TRWA, 2018). بر اساس نقشه ترسیم شده از آبدھی ویژه (Sy) (شکل f-۳) مشاهده می شود که در ابتدای مخروط افکه در شمال آبخوان ورامین که آبرفت دارای رسوبات درشت دانه است، آبدھی ویژه حدود ۱۶-۱۳٪، در وسط دشت، حوالی شهر ورامین حدود ۱۰٪ و در قسمت جنوبی دشت حدود ۲ تا ۵٪ است (TRWA, 2018). عمدۀ محصولات زراعی آبخوان ورامین، گندم، جو، ذرت علوفه، یونجه، سبزیجات، پسته و انگور است (Nejatijahromi et al., 2019). از نظر سازند های زمین شناسی مستعد فرسایش، بخش قابل توجهی از مناطق جنوبی و مرکزی منطقه موردن مطالعه به عنوان کلاس های با حساسیت بالا طبقه بندی می شوند. بیشتر نواحی شمالی و چند قسمت مجزا در قسمت های شمالی و جنوبی زیر حوضه ورامین دارای سازند های نسبتاً حساس و مقاوم در برای فرسایش است (شکل a-۳). اراضی گسترده ای در مناطق مرکزی و جنوبی زیر حوضه ورامین به دلیل قرار داشتن در مرکزیت توسعه و جمعیت، دارای کلاس بسیار حساس نسبت به فرسایش هستند (Alimohammadi, 2009) (شکل ۱).

۳- مواد و روش ها

۳.۱. داده های ورودی

در این مطالعه ۱۷ نقشه ورودی (شکل ۳) از جمله مدل ارتفاعی رقومی (DEM) که در نرم افزار ArcGIS10.5 از یک نقشه توپوگرافی در مقیاس ۱:۵۰۰۰۰ تولید می شود (NGOI, 2008)، شبیه، قابلیت انتقال (T) (TRWA, 2018)، آبدھی ویژه (Sy) (TRWA, 2018)، منطقه بندی دبی چاهه ای پمپاژ (TRWA, 2018) که در نرم افزار ArcGIS10.5 با روش چند ضلعی تیسن تولید می شود، ضخامت آبخوان (TRWA, 2018)، تراز سنگ بستر (TRWA, 2018)، ضخامت رس (TRWA, 2018)، نقشه فاصله از گسلها که در نرم افزار ArcGIS10.5 (TRWA, 2018)

زمین شناسی و کاربری اراضی استفاده کردند. نتایج تحقیق آنها حاکی از دقت قابل قبول روش مورد استفاده برای تهیه نقشه خطر فرونشست بود. Rezaee (2016) از یک مدل فازی برای پیش بینی مکان های در معرض خطر فرونشست در دشت کرمانشاه استفاده نمود. بر این اساس، نتایج حاکی از آن بود که در خاور کرمانشاه و در جنوب و خاور روستای ده پلاتان که آب های زیرزمینی رسوبات زیاد و ریز دانه ای دارند، خطر فرونشست از سایر مناطق بیشتر است. Shadfar et al. (2016) برای تعیین پهنه بندی خطر فرونشست زمین، از روش فرآیند تحلیل سلسه مراتبی در منطقه بoven زهرا استفاده کردند. بر این اساس، آنها نتیجه گرفتند که عامل «پمپاژ بیش از حد آب زیرزمینی» که منجر به افت زیاد سطح آب های زیرزمینی شده با ضریب ۰/۴۸۴۲ در درجه اول و عامل «زمین شناسی» با ضریب ۰/۲۴۴۵ در درجه دوم، در ایجاد فرونشست مؤثر است. Behyari et al. (2017) در تحقیق خود به ارزیابی ساختارهای تکتونیکی فعال مؤثر بر خطر فرونشست زمین با استفاده از مدل های تصمیم گیری چند معیاره در مرزن آباد پرداختند. بر این اساس، آنها نتیجه گرفتند که عوامل زمین شناسی از جمله وجود درزه ها و گسل باعث ایجاد نقاط ضعف در خاک و بی ثباتی در منطقه شده و از طرف دیگر منجر به انتقال آب به واحد های آهکی زیرسطحی شده و حفره های انحلال و فرونشست زمین ایجاد می نماید.

Minderhoud et al. (2018) در تحقیق خود به رابطه بین کاربری اراضی و فرونشست در دلتای مکونگ و بتمن پرداختند. آنها نتیجه گرفتند که شیوه های استفاده از اراضی می تواند بر روند فرونشست زمین، چه فرونشست طبیعی یا فرونشست در اثر فعالیت های انسانی تأثیر بگذارد. در این تحقیق آنها نتیجه گرفتند که کلاس های مختلف کاربری اراضی دارای میزان متفاوتی از فرونشست زمین هستند. بر این اساس، بیشترین میزان فرونشست زمین برای کلاس های کاربری اراضی مشاهده شد که در آنها شدت تغییرات طبیعی در اثر فعالیت های انسانی افزایش یافته است.

همانطور که در مرور تحقیقات مشاهده می شود، در هیچ یک از تحقیقات انجام شده به ارزیابی هم زمان تمام پارامترهای مؤثر بر رخداد فرونشست زمین از جمله نوع خاک، بارندگی، دبی چاهه ای، فرسایش، کاربری اراضی، گسل، ضخامت رس، خصوصیات هیدرودینامیکی آبخوان مانند آبدھی ویژه (Sy)، و قابلیت انتقال (T) پرداخته نشده است. در نتیجه، هدف اصلی از این مطالعه استفاده از یک روش تلفیقی از مدل برنامه ریزی بیان ۷۰ و منطق فازی برای ارزیابی هم زمان این عوامل و پهنه بندی خطر فرونشست زمین و همچنین مشخص کردن میزان تأثیر هر عامل بر رخداد فرونشست در آبخوان ورامین و تعیین میزان صحت این روش با استفاده از داده های تکنیک تداخل سنجی را داری است.

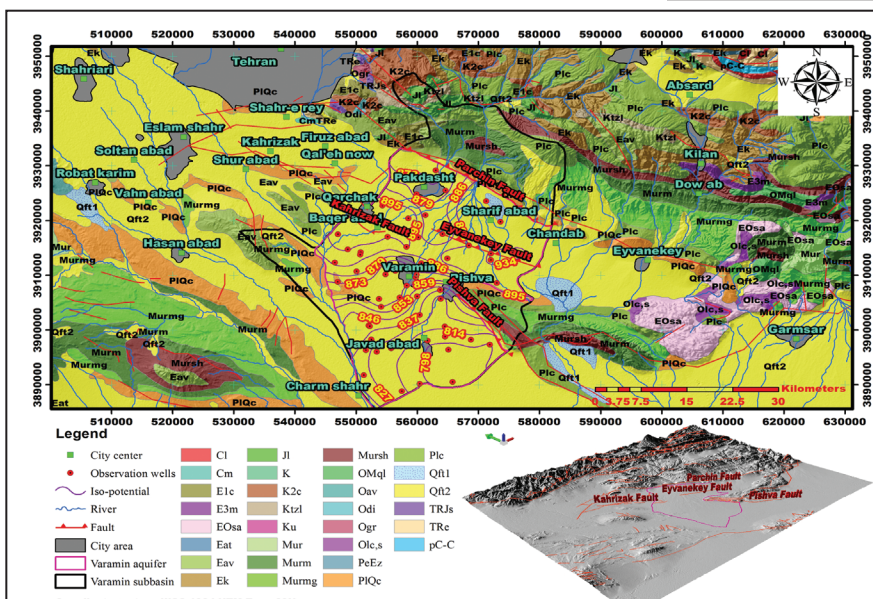
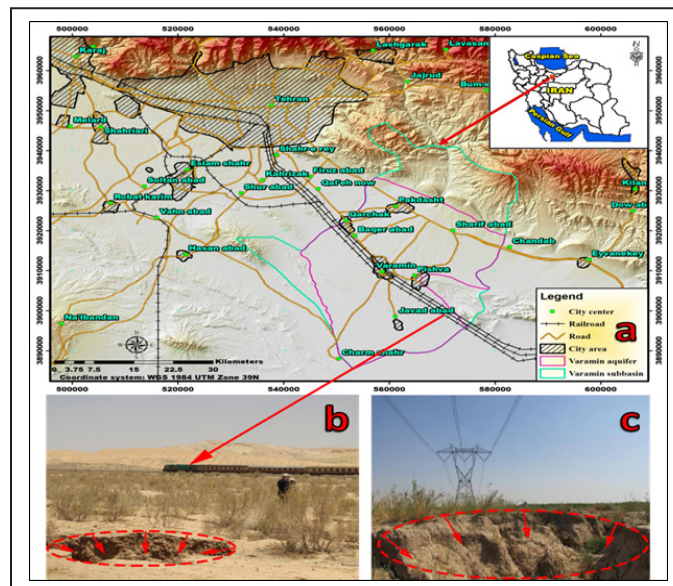
۴- معرفی منطقه مورد مطالعه

آبخوان مورد مطالعه در جنوب خاوری تهران واقع شده و بخشی از زیر حوضه ورامین است (شکل a-۱). بر اساس سرشماری ملی نفوس و مسکن در سال ۱۳۹۰، ۴۴۷ نفر در این منطقه زندگی می کنند (2019). این منطقه در مسیر راههای ارتباطی مهمی از جمله راه آهن تهران - مشهد (شکل b-۱) و جاده ترانزیتی خاور- باختر کشور قرار دارد. همچنین این منطقه در مسیر خطوط انتقال برق به جنوب ایران واقع شده است (شکل c-۱). آبخوان ورامین دارای ارتفاع متوسط ۹۵۰ متر از سطح دریا است. بالاترین ارتفاع در قسمت شمالی ۱۱۴۸ متر (شکل k-۳) و کمترین ارتفاع در جنوب و جنوب خاوری آبخوان شیب توپوگرافی این منطقه از شمال خاوری به سمت جنوب خاوری آبخوان می باشد (شکل m-۳). این منطقه دارای میانگین بارندگی سالانه ۱۸۷/۴ میلی متر (شکل n-۳) و میانگین دمای سالانه ۱۶/۴ درجه سانتی گراد است (Nejatijahromi et al., 2019). بر همین اساس، آب و هوای آبخوان ورامین اغلب تحت تأثیر جبهه های مدیترانه ای از باختر و شمال باختری و جبهه های سیبری از شمال قرار گرفته است (Mokhtari and Espahbod, 2009). از دیدگاه زمین ساختی، آبخوان ورامین در زون ایران مرکزی واقع شده است

بارندگی سالانه، نقشه نوع خاک با مقیاس ۱:۲۵۰۰۰ (SCWMRI, 2010)، ارزیابی و آماده شدن تا در محیط GIS تجزیه و تحلیل شوند و مورد استفاده قرار گیرند. برای صحت سنگی و مقایسه نتایج از اطلاعات نرخ فرونشست زمین (شکل ۳) بر اساس تکیک تداخل سنگی تصاویر رادار تا سال ۲۰۱۵ استفاده شده است (Sentinel-1, 2015).

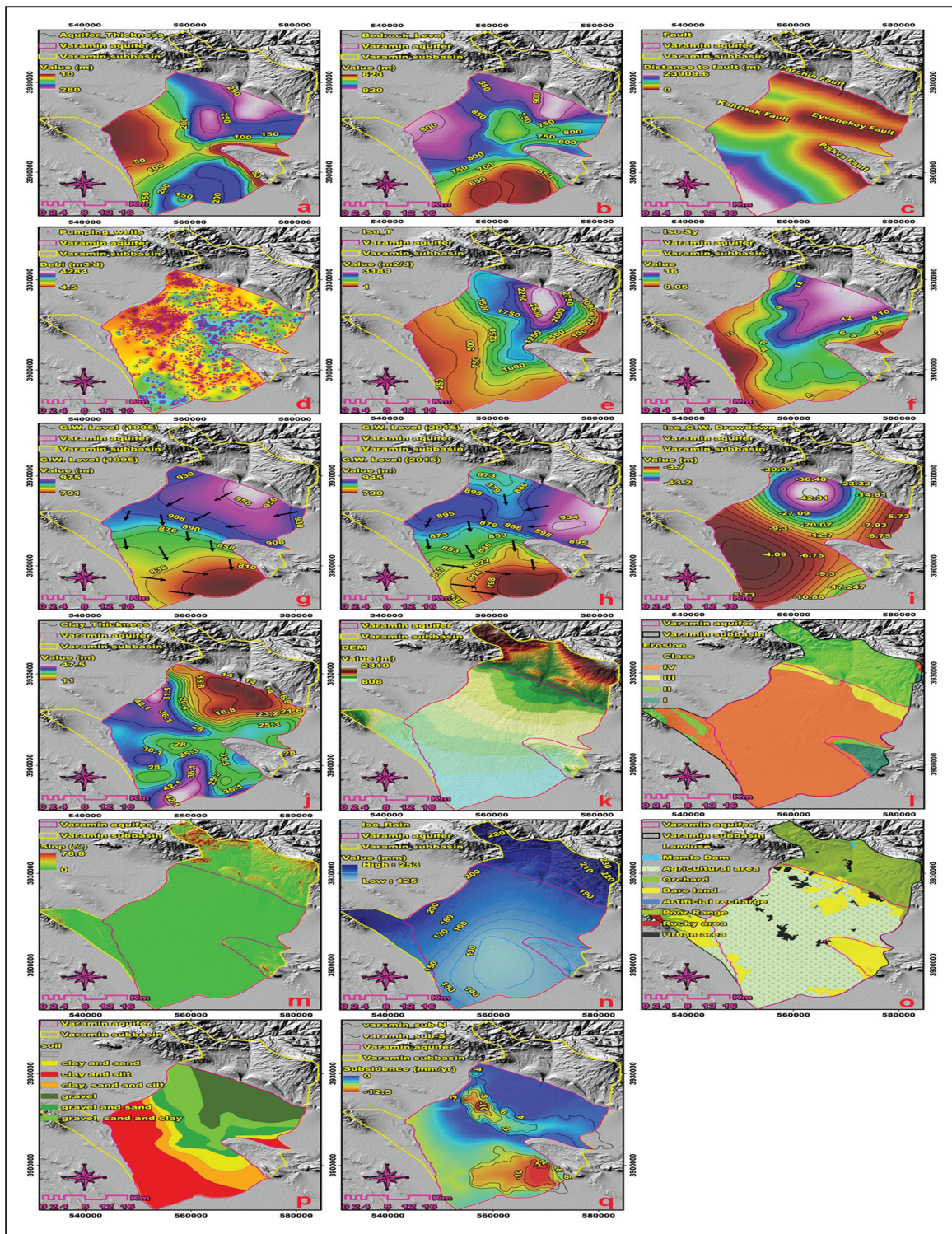
با روش فاصله اقلیدسی تولید می‌شود، سطح آب زیرزمینی در ۱۳۷۵ (TRWA, 2018) سطح آب زیرزمینی در سال ۱۳۹۵ (TRWA, 2018)، افت آب‌های زیرزمینی در ۲۰ سال (۱۳۹۵ تا ۱۳۷۵)، نقشه زمین‌شناسی با مقیاس ۱:۱۰۰۰۰ (Sadeghi et al., 2006) نقشه کاربری اراضی با مقیاس ۱:۲۵۰۰۰ (SCWMRI, 2010)، نقشه فرسایش با مقیاس ۱:۲۵۰۰۰ (SCWMRI, 2010)

شکل ۱ (a) موقعیت منطقه مورد مطالعه؛ (b) و (c) رخداد فرونشست در محدوده خطوط راه آهن و خطوط انتقال برق. خط چین، محل فرونشست زمین را نشان می‌دهد.



شکل ۲- نقشه زمین‌شناسی محدوده مورد مطالعه.

UNIT	DESCRIPTION	UNIT	DESCRIPTION
C1	Dark red medium - grained arkosic to subarkosic sandstone and micaceous siltstone (LALUN FM); Cambrian	Murmig	Gypsiferous marl; Miocene
Cm	Dark grey to black fossiliferous limestone with subordinate black shale (MOBARAK FM); Carboniferous	Mursh	Variegated shade, gypsiferous marl and sandstone; Miocene
E1c	Pale-red, polygenic conglomerate and sandstone; Paleocene-Eocene	Oav	Oligocene andesitic lava flows; Oligocene
E3m	Marl, sandstone and limestone; Late Eocene	Odi	Diorite; Oligocene
Eat	Andesitic tuff; Eocene	Ogr	Granite; Oligocene
Eav	Andesitic volcanic; Eocene	Olc.s	Conglomerate and sandstone; Oligocene
Ek	Well bedded green tuff and tuffaceous shale (KARAJ FM); Eocene	OMql	Massive to thick bedded reefal limestone; Oligocene-Miocene
EOsa	Salt dome; Eocene-Oligocene	pC-C	Late proterozoic - early Cambrian undifferentiated rocks; Precambrian
Jl	Light grey, thin - bedded to massive limestone (LAR FM); Jurassic-Cretaceous	Pelz	Reef-type limestone and gypsiferous marl (ZIARAT FM); Paleocene-Eocene
K	Cretaceous rocks in general; Cretaceous	Plc	Polymictic conglomerate and sandstone; Pliocene
K2c	Conglomerate and sandstone; Late Cretaceous	PIQc	Fluvial conglomerate; Piedmont conglomerate and sandstone; Pliocene-Quaternary
Ktzl	Thick bedded to massive, white to pinkish orbitolina bearing limestone (TIZKUH FM); Early Cretaceous	Qfl1	High level piedmont fan and valley terrace deposits; Quaternary
Ku	Upper cretaceous, undifferentiated rocks; Late Cretaceous	Qfl2	Low level piedmont fan and valley terrace deposits; Quaternary
Mur	Red marl, gypsiferous marl, sandstone and conglomerate (Upper red FM); Miocene	TRe	Thick bedded grey oolithic limestone, yellow to pinkish shaly limestone with worm tracks and well to thick bedded dolomitic and dolomitic limestone (ELIKAH FM)
Murm	Light red to brown marl and gypsiferous marl with sandstone intercalations; Miocene	TRjs	Dark grey shale and sandstone (SHIEMSHAK FM); Triassic-Jurassic



شکل ۴-۳ (a) ضخامت آبخوان؛ (b) سطح بستر؛ (c) فاصله گسل‌ها؛ (d) پهنگ‌بندی دبی چاههای پمپاژ؛ (e) قابلیت انتقال (T)؛ (f) آبدی و پیزه (Sy)؛ (g) سطح آب زیرزمینی در سال ۱۳۹۵؛ (h) سطح آب زیرزمینی در سال ۲۰۱۵؛ (i) افت آب‌های زیرزمینی طی ۲۰ سال (۱۳۷۵ تا ۱۳۹۵)؛ (j) ضخامت لایه‌های رسی؛ (k) مدل ارتفاعی رقومی (DEM)؛ (l) فرسایش؛ (m) شیب؛ (n) بارندگی سالانه؛ (o) کاربری اراضی؛ (p) نوع خاک؛ (q) نرخ فرونشست زمین بر اساس تکنیک تداخل‌سنگی تصاویر رادار تا سال ۲۰۱۵.

۳-۲. فاکتورهای مؤثر بر فرونشست زمین

سوابق تحقیق مورد استفاده قرار گرفت (Ayalew et al., 2005; Karsli et al., 2009; Wang et al., 2009; Behyari et al., 2017; Minderhoud et al., 2018).
۳-۳. استانداردسازی فاکتورهای مؤثر با استفاده از نوع عضویت فازی
منطق فازی که توسط Zadeh (1965) پیشنهاد شده، مبتنی بر تئوری مجموعه عضویت فازی است. یک مدل منطق فازی می‌تواند رویکردی فراهم کند که توصیف‌های

در مطالعه حاضر، ۱۵ فاکتور تأثیرگذار بر رخداد فرونشست از جمله ضخامت آبخوان، تراز سنگ بستر، ضخامت رس، منطقه‌بندی دبی چاههای پمپاژ، قابلیت انتقال (T)، آبدی و پیزه (Sy)، افت آب‌های زیرزمینی در ۲۰ سال، نوع خاک، شیب، ارتفاع مبنی بر DEM، فرسایش، بارندگی سالانه، فاصله از گسل، واحدهای سنگ‌شناسی و کاربری اراضی برای مدل سازی فرونشست زمین، بر مبنای بررسی

$$\mu(x) = \frac{1}{1 + \frac{x - f_1}{f_2}} \quad (1)$$

Fuzzy Linear: این عملگر بین حداقل و حد اکثر مقادیر تعریف شده توسط کاربر رابطه خطی ایجاد می کند (Raines et al., 2010). به مقادیری که کمتر از حداقل مقادار هستند، ارزش عددی صفر و مقادیر بیشتر از حد اکثر مقادار، ارزش عددی یک تعلق می گیرد (شکل ۴-۶).

$$\mu(x) = 0 \text{ if } x < \min, \mu(x) = 1 \text{ if } x > \max, \text{ otherwise } \mu(x) = \frac{(x - \min)}{(\max - \min)} \quad (2)$$

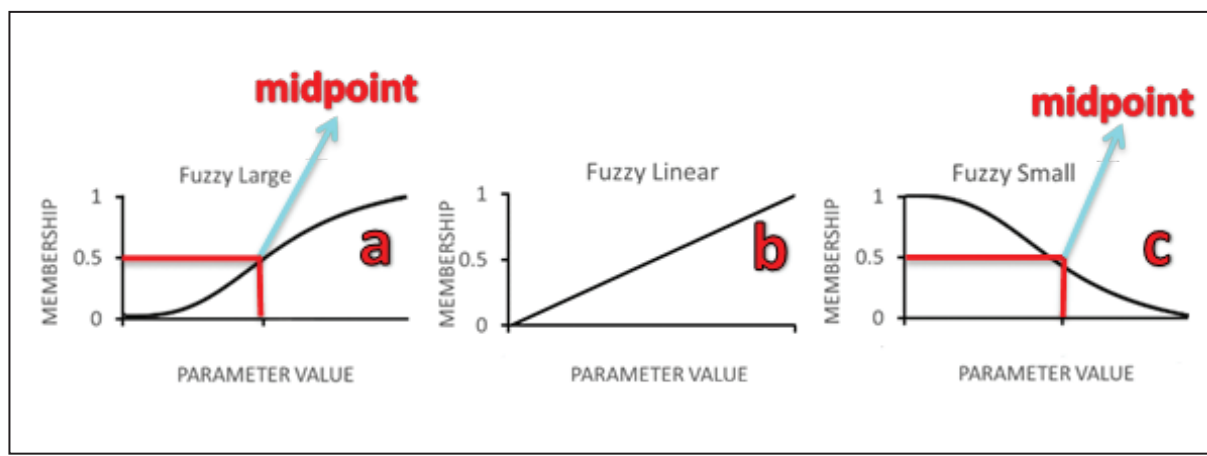
Fuzzy Small: این عملکرد هنگامی استفاده می شود که مقادیر ورودی کوچک اهمیت بیشتری داشته و در نتیجه مقدار عضویت بالاتری دارند (Mohebbi Tafreshi et al., 2018; Raines et al., 2010). ارزش عضویت کمتر از حد متوسط در این عملگر افزایش یافته و دارای تناسب بهتری و بالاتری می باشد.

$$\mu(x) = \frac{1}{1 + \frac{x - f_1}{f_2}} \quad (3)$$

در معادلات بالا، f_1 پارامتر مقدار پخش (spread) وارد شده توسط کاربر و f_2 نقطه میانی (midpoint) است. \min و \max مقادیر حداقل و حد اکثر هستند و توسط کاربر وارد می شوند.

کیفی متخصصان را به مدلی عددی- مکانی تبدیل کند تا بتواند مکان رویداد مورد نظر را پیش بینی کند (Raines et al., 2010). اولین قدم در مدل های فازی، استانداردسازی پارامتر با توابع عضویت فازی است. مقادیر فازی با تبدیل مقادیر ورودی خام به مقیاس عضویت از ۰ تا ۱ بر اساس توابع تبدیل فازی بدست می آیند. مقادیر نزدیک به ۱ برای هدف مورد نظر مناسب تر هستند و مقادیری که به ۰ نزدیک می شوند مناسب نیستند. چندینتابع عضویت فازی در زیر برنامه منطق فازی نرم افزار ArcGIS نسخه ۱۰ وجود دارد و یک شکل سیگموئیدی از عضویت قرار می کند، که معمولاً در بسیاری از برنامه های منطق فازی مورد استفاده قرار می گیرد (Raines et al., 2010). کاربرد واستفاده از هر یک از این توابع بر اساس تنظیم پارامترهای نقطه میانی (midpoint) و پخش (spread) انجام می شود. انتخاب و بکار گیری هر یک از توابع عضویت فازی به نوع، میزان اهمیت و ارتباط هر عامل با هدف اصلی بستگی دارد. در این تحقیق، برای استانداردسازی فاکتورها، سه عملگر عضویت فازی مورد استفاده قرار گرفت که در بخش زیر به شرح هر یک پرداخته می شود:

Fuzzy Large: این عملگر دقیقاً بر عکس عملگر Small است و در موقعی که مقادیر زیاد، اهمیت بیشتری دارند استفاده می شود (Mohebbi Tafreshi et al., 2018). مقادیر عضویتی که بیشتر از نقطه میانی هستند در این عملگر افزایش یافته و روندی با شبیه نزولی می یابند (شکل ۴-۷).



شکل ۴-نمودارهای تبدیل عملگرهای توابع عضویت فازی (a .Fuzzy Large (b .Fuzzy Linear (c .Fuzzy Small

۳-۴. برنامه ریزی بیان ژن

برنامه نویسی بیان ژن یک الگوریتم ژنتیک تعیین یافته است که برای اولین بار توسط فریرا در سال ۱۹۹۹ (Ferreira, 2001) (بر اساس نظریه تکامل داروین ارائه شد. اولین قدم در الگوریتم بیان ژن تولید جمعیت اولیه از راه حل ها است. این کار با یک فرآیند تصادفی یا با استفاده از برخی اطلاعات در مورد مسئله قابل انجام است. سپس کرموزوم ها به شکل یک عبارت درخت واره بیان می شود تا مطابق با یک تابع برازش ارزیابی شود و میزان مناسب بودن یک راه حل در حیطه مسئله تعیین شود. تابع برازش معمولاً با پردازش تعدادی نمونه از مسئله هدف مورد ارزیابی قرار می گیرد که به آن موارد برازش نیز گفته می شود. اگر کیفیت مطلوب از یک راه حل پیدا شود یا نسل به تعداد مشخصی بررسی، تکامل متوقف و بهترین راه حل گزارش می شود. از طرف دیگر، در صورت عدم محقق شدن شرایط توفیق، بهترین راه حل توسط نسل فعلی (به معنای نخبه گرینی) نگه داشته می شود و بقیه راه حل به یک فرآیند انتخابی واگذار می شود. انتخاب یا گرینش، عملکرد بقای شایسته را دارد و بر همین اساس بهترین افراد شناسی بهتری برای تولید فرزندان دارند. کل این روند برای چندین نسل تکرار می شود و با پیشرفت نسل به جلو، انتظار می رود کیفیت جمعیت نیز به طور متوسط بهبود یابد (Ferreira, 2006). در این روش، پدیده های مختلف با استفاده از مجموعه ای از توابع و مجموعه ای از ترمینال ها مدل سازی

۳-۵. سنجنده های آماری ارزیابی عملکرد مدل

برای ارزیابی عملکرد، از هفت سنجنده مهم آماری استفاده شد. شرح این معیارهای آماری در زیر آمده است:

کند (Hyndman and Koehler 2006) مقداری کم این سنجنده که به صفر نزدیک تر است، عملکرد عالی مدل را بیان می‌دهد.

$$\sqrt{\frac{\sum_{t=1}^n (A_t - F_t)^2}{n}} \quad \text{. (Hyndman and Koehler, 2006) (V)}$$

در معادلات بالا، A_i داده های واقعی (مقادیر نرخ فرونشست از تصاویر رادار)، F داده های پر آورده شده توسط مدل و n تعداد داده ها است.

سه سنجنده آماری دیگر که نرم افزار GeneXpro Tools بطور اختصاصی از آنها در ارزیابی عملکرد مدل استفاده می نماید به ترتیب عبارتند از خطای مطلق نسبی (RAE) (فرمول ۸)، مربع خطای مطلق نسبی (RSE) (فرمول ۹) و ریشه مربعات خطای (RRSE) (فرمول ۱۰).

$$\text{رسی (کمزون) (RRSE)}$$

$$\frac{\sum_{t=1}^n (A_t - F_t)^2}{(A_t - \bar{A})^2} \quad (4)$$

$$\sqrt{\frac{\sum_{t=1}^n (A_t - F_t)^2}{(A_t - \bar{A})^2}} \quad (1)$$

در معادلات بالا، A داده های واقعی (فرونشست اندازه گیری شده از تصاویر رادار)، F داده های برآورد شده توسط مدل و \bar{A} مانگن: داده های واقعی است (شکل ۵).

ضریب همبستگی (R) نشان دهنده ارتباط بین نتایج برآورد شده از مدل و داده های واقعی (مقادیر نرخ فرونشست از تصاویر رادار) است. بدینه است هرچه مقدار این سنجنده به یک نزدیک تر باشد، مشابهت مقادیر برآورد شده به مقادیر واقعی و دقیق پیشتر مدل را نشان می دهد.

$$\frac{n \sum_{t=1}^n F_t A_t - \left(\sum_{t=1}^n F_t \right) \left(\sum_{t=1}^n A_t \right)}{\sqrt{\left(\sum_{t=1}^n F_t^2 \right) - \left(\sum_{t=1}^n F_t \right)^2} - \sqrt{\left(\sum_{t=1}^n A_t^2 \right) - \left(\sum_{t=1}^n A_t \right)^2}} \quad (\P)$$

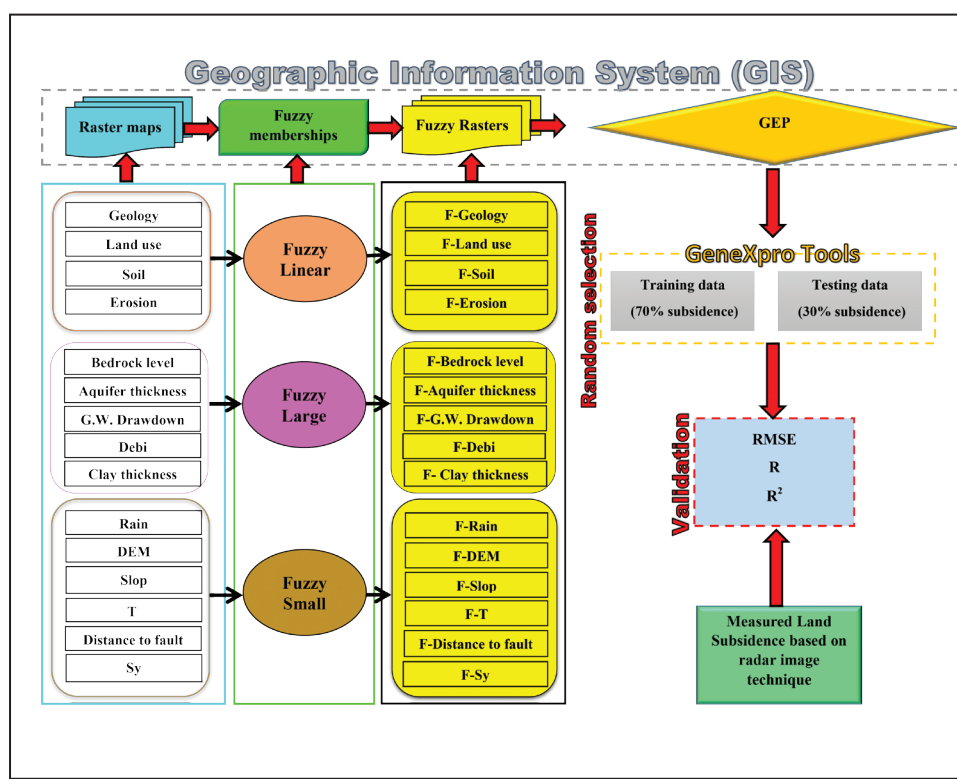
سنجهنده دیگر، میانگین مربعات خطأ (MSE) است که به عنوان میانگین توان دوم انحراف یک برآوردگر از مقدار واقعی آن تعریف می شود. این سنجهنده از همیت ویژه ای در بین متخصصین آمار برخوردار است (Lehmann and Casella, 1998).

$$\frac{\sum_{t=1}^n (A_t - F_t)^2}{n} \quad (\text{d})$$

خطای مطلق متوسط (MAE) یک سنجنده قوی در محاسبه میزان پراکندگی داده است. این سنجنده نسبت به انحراف استاندارد در زمینه داده‌های پر ت مقاوم تر عمل کرده است.

$$\frac{\sum_{t=1}^n |A_t - F_t|}{n}$$

ریشه مربعات خطای میانگین (RMSE) تعداد انحراف مقادیر برآورد شده از مقادیر مشاهده شده را نشان می‌دهد. به عبارت دیگر، این سنجنده پراکندگی داده‌ها را نشان



شكل ٥- فلوچارت مراحل انجام تحقیق.

۴- بحث

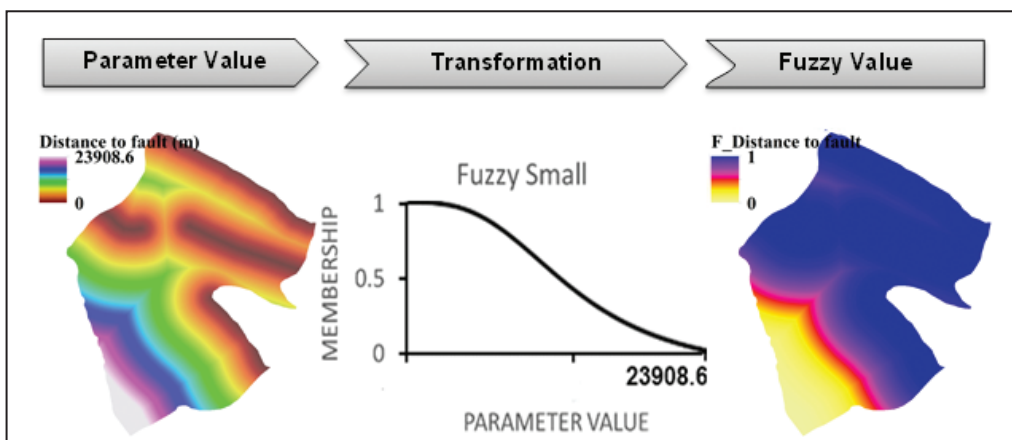
۴-۱. استانداردسازی فاکتورهای مؤثر با استفاده از توابع عضویت فازی

با توجه به اینکه در فاکتورهای بارندگی سالانه، DEM، شب، T، فاصله از گسل و Sy، مقادیر کمتر تأثیر پیشتری در فرونشست زمین دارد، از تابع «Small» برای استانداردسازی فازی استفاده شد. در شکل ۶ استانداردسازی فازی یکی از این نوع پارامترها با استفاده از عملگر «Small» فازی نشان داده شده است.

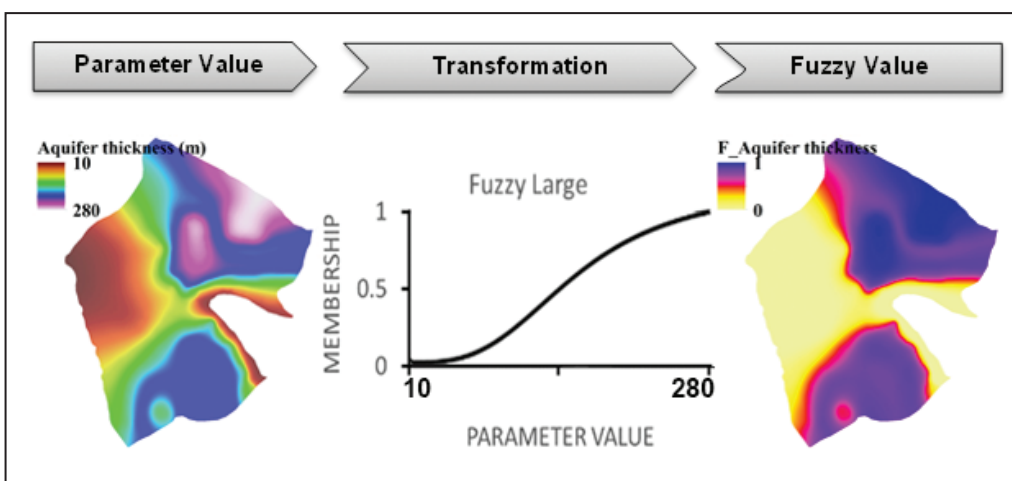
در آن دسته از پارامترهایی که افزایش مقدار آنها باعث افزایش در نرخ فرونشست زمین می شود، باید تابع عملگر «Large» فازی مورد استفاده قرار گیرد. بر این اساس،

پارامترها با استفاده از تابع عضویت «Linear» فازی نشان داده شده است. شکل ۹ همه استانداردسازی فاکتورها را با عملگرهای توابع عضویت فازی نشان می‌دهد.

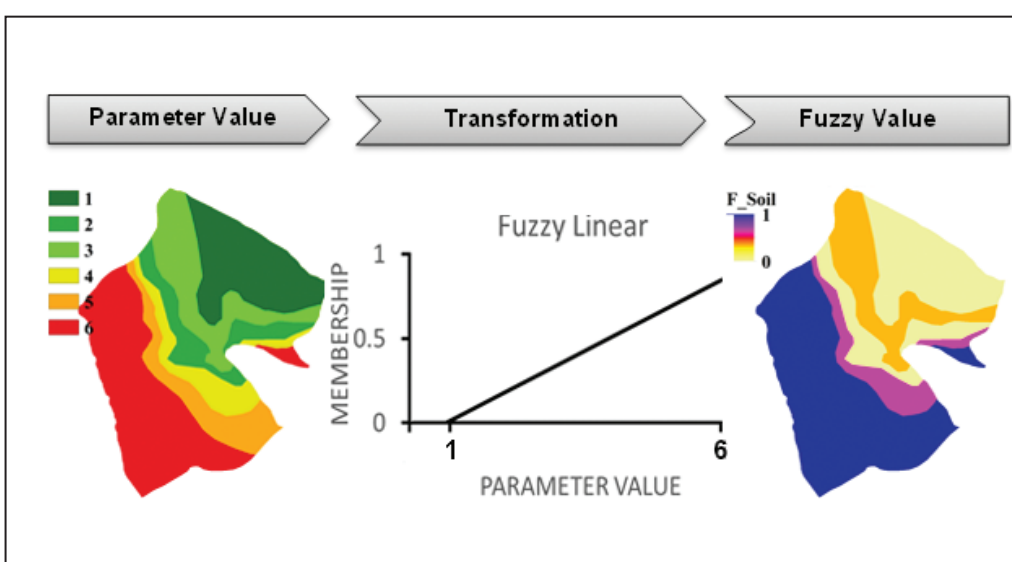
مورد استفاده قرار گرفت (جدول ۱). بر این اساس، عدد کلاس بزرگ نشان دهنده تأثیر بالاتر در فرونشست زمین است. در شکل ۸ روش استانداردسازی فازی یکی از این نوع



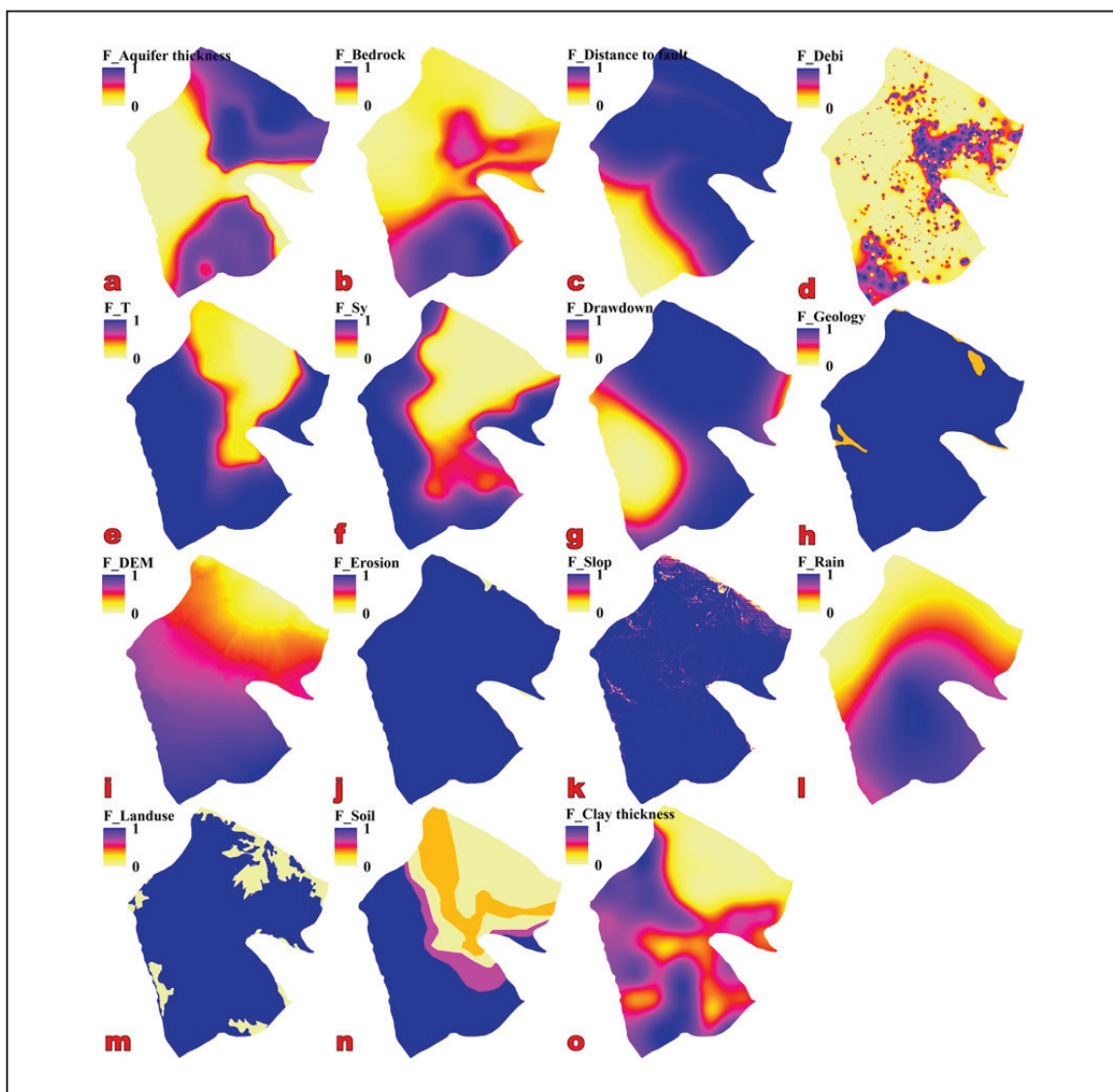
شکل ۶- استانداردسازی فازی پارامتر "فاصله از گسل" با استفاده از تابع عضویت "Small" فازی. در این شکل، ارزش عددی یک (آبی)، بیشترین تأثیر و ارزش عددی صفر (زرد)، کمترین اثر را بر رخداد فرونشست دارند.



شکل ۷- استانداردسازی فازی پارامتر "ضخامت آبخوان" با استفاده از تابع عضویت "Large" فازی. در این شکل، ارزش عددی یک (آبی)، بیشترین تأثیر و ارزش عددی صفر (زرد)، کمترین اثر را بر رخداد فرونشست دارند.



شکل ۸- استانداردسازی فازی پارامتر "جنس خاک" با استفاده از تابع عضویت "Linear" فازی. در این شکل، ارزش عددی یک (آبی)، بیشترین تأثیر و ارزش عددی صفر (زرد)، کمترین اثر را بر رخداد فرونشست دارند.



شکل ۹- استانداردسازی فاکتورها با توجه به عضویت های فازی. a) ضخامت آبخوان- فازی؛ b) تراز سنگ بستر- فازی؛ c) فاصله از گسل- فازی؛ d) پهنگندی دبی چاههای پمپاژ- فازی؛ e) قابلیت انتقال- فازی؛ f) آبدهی ویژه- فازی؛ g) افت سطح آبهای زیرزمینی- فازی؛ h) زمین شناسی- فازی؛ i) مدل ارتفاعی رقومی- فازی؛ j) فرسایش- فازی؛ k) شبیب- فازی؛ l) بارندگی سالانه- فازی؛ m) کاربری اراضی- فازی؛ n) جنس خاک- فازی؛ o) ضخامت لایه های رسی- فازی.

جدول ۱- اعداد اختصاص داده شده به هر کلاس کیفی.

Class n.	Geology	Soil type	Land use	Erosion
1	Eav, K2c	Gravel	Rocky area, Artificial recharge, Mamlo Dam	I
2	E1c, Ek, Jl, Ktzl, PlQc, Plc, Qft1	Gravel and Sand	Bare Land, Orchard, Poor Range	II
3	Qft2, Murm, Murmg, Mursh	Gravel, Sand and Clay	Urban area	III
4	-	Clay and Sand	Agricultural area	IV
5	-	Clay, Sand and Silt	-	-
6	-	Clay and Silt	-	-

سناریوهای مختلف، رسیدن به بهترین نتایج مدل بر مبنای مقایسه با نتایج اندازه‌گیری شده می‌باشد. بر این مبنای،^۴ سناریوی مختلف بر اساس عملگرهای متفاوت و ترکیبات عوامل مختلف توسعه داده شد. سناریوی ۱ شامل ۴ پارامتر ورودی: تراز سنگ بستر، دبی، افت سطح آب‌های زیرزمینی، زمین‌شناسی و عملگرهای ضخامت آبخوان، تراز سنگ بستر، دبی، افت سطح آب‌های زیرزمینی، زمین‌شناسی، فاصله از گسل، بارندگی و قابلیت انتقال و عملگرهای $-+, \times, \div$ ، سناریوی ۲ شامل ۶ پارامتر ورودی: تراز سنگ بستر، فاصله از گسل، بارندگی، نوع خاک، افت سطح آب‌های زیرزمینی و زمین‌شناسی و عملگرهای $\text{sqr}, \text{exp}, \text{Ln}, ^2, ^3, \text{Rt}, \text{sin}, \text{cos}, \text{Atan}, \div, \times, -, +$ ،^۵ سناریوی ۳ شامل ۶ پارامتر ورودی: ضخامت آبخوان، تراز سنگ بستر، دبی، افت سطح آب‌های زیرزمینی و کاربری اراضی و عملگرهای $\text{sin}, \text{cos}, \text{Atan}, \div, \times, -, +$ می‌باشد.

۴-۲. ترکیب فاکتورهای استاندارد شده فازی با استفاده از الگوریتم برنامه‌ریزی بیان ژن (GEP)

در این تحقیق داده‌های مورد استفاده به صورت تصادفی ۷۰٪ برای آموزش و ۳۰٪ برای تست در سناریوهای متفاوتی به مدل وارد شد. به منظور ارزیابی عملکرد مدل از سنجنده‌های آماری بهترین برازش (Best fitness)، ضریب همبستگی (R)، ضریب تبیین (R²) و ریشه متوسط خطای مربعات (RMSE) استفاده شد. پارامترهای مورد استفاده و میزان آنها در مراحل مختلف استفاده از نرم افزار GeneXproTools برای برآورد فرونشست در جدول ۲ خلاصه شده است. جدول ۳ پارامترهای ارزیابی مدل در دو حالت آزمون و آموزش به ازای سناریوهای متفاوت را نشان می‌دهد. این سناریوها به منظور انتخاب بهینه‌ترین ترکیب لایه‌های مؤثر بر رخداد فرونشست و همچنین مناسب ترین عملگرهای ریاضی که سبب بهبود نتایج مدل‌سازی می‌شوند، مورد استفاده قرار می‌گیرند. در واقع هدف استفاده از

جدول ۲- پارامترهای مورد استفاده و میزان آنها در مراحل مختلف استفاده از نرم افزار GeneXproTools

Parameters	Rate	Parameters	Rate/Type
Head size	7	Gene recombination rate	0.2
Chromosomes	30	IS recombination rate	0.1
Number of genes	3	RIS recombination rate	0.1
Mutation rate	0.033	Gene transposition rate	0.1
DC Mutation	0.1	Fitness function error type	RMSE, R, Best fitness
One-point recombination rate	0.2	Linking function	+
Two-point recombination rate	0.3	Function set	$\text{sqr}, \text{exp}, \text{Ln}, ^2, ^3, \text{Rt}, \text{sin}, \text{cos}, \text{Atan}, \div, \times, -, +$

جدول ۳- مقادیر سنجنده‌های آماری مدل برنامه‌ریزی بیان ژن در دو حالت آزمون و آزمون به ازای سناریوهای متفاوت.

Scenario	R	R ²	RMSE	Best fitness	MSE	MAE	RAE	RSE	RRSE
1	Training	0.9894	0.9789	0.04682	955.26	0.00210	0.03330	0.1408	0.02869
	Test	0.9920	0.9841	0.04190	959.78	0.001755	0.03151	0.1399	0.02442
2	Training	0.9300	0.8700	0.0960	911.59	0.00940	0.07300	0.3086	0.12300
	Test	0.9400	0.8900	0.0870	919.20	0.00770	0.07000	0.3111	0.10650
3	Training	0.9680	0.9370	0.0790	926.77	0.00620	0.06690	0.2828	0.08160
	Test	0.96700	0.9360	0.0760	929.11	0.00580	0.06400	0.2885	0.08000
4	Training	0.98200	0.9643	0.0520	950.34	0.00270	0.04511	0.1906	0.03572
	Test	0.9823	0.9649	0.0500	951.82	0.00250	0.04310	0.1914	0.03500

وروی‌ها و متغیر خروجی دارا می‌باشد، لذا در جدول ۴ رابطه ریاضی و ثابت عددی حاصل از مدل برنامه‌ریزی بیان ژن بر مبنای سناریوی برتر (سناریو ۱) نشان داده شده است. ثابت‌های عددی به صورت تصادفی در هر یک از ژن‌های کروموزوم برازنده ایجاد و در ساده‌تر شدن معادله کمک می‌کنند. با توجه به اینکه پنج ژن در اینجا تشکیل شده، هریک از ژن‌ها یک زیردرخت و معادله مربوط به خود را دارد که در نهایت با توجه به تابع پیوند، معادله نهایی حاصل می‌شود. شکل ۱۳ ساختار مدل خروجی مطلوب را به صورت درختی نشان می‌دهد.

چون تابع پیوند، تابع جمع است باید ژن‌ها را برای بدست آوردن فرمول جواب با هم جمع نمود، که در پایان معادله نهایی به صورت زیر حاصل می‌شود:

$$(1)$$

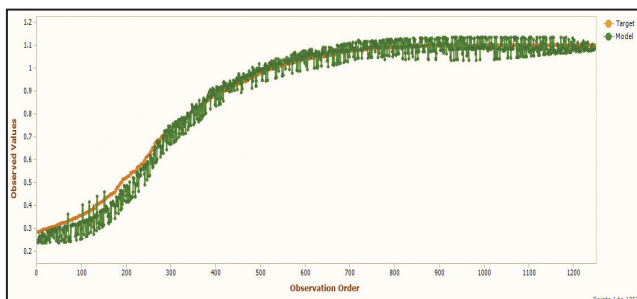
$$\text{Land subsidence} = \text{SUB(ET1)} + \text{SUB(ET2)} + \text{SUB(ET2)} + \text{SUB(ET4)} + \text{SUB(ET5)}$$

در نهایت در شکل ۱۴، پنهان بندی خطر فرونشست بر اساس بهترین سناریو، ارائه گردید.

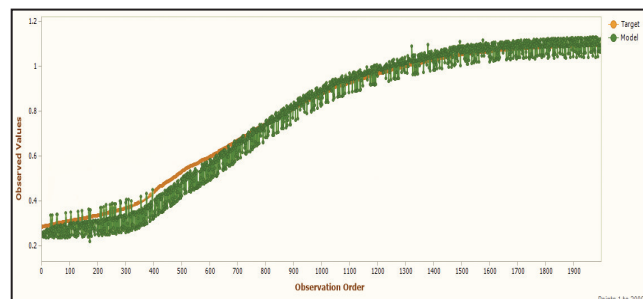
همانطور که در جدول ۳ نشان داده شده است، سناریوی ۱ با پارامترهای ورودی تراز سنگ بستر، دبی، افت آب‌های زیرزمینی، زمین‌شناسی و عملگرهای $\text{sqr}, \text{exp}, \text{Ln}, ^2, ^3, \text{Rt}, \text{sin}, \text{cos}, \text{Atan}, \div, \times, -, +$ ، بهترین مدل در مرحله آموزش و آزمون می‌باشد (شکل‌های ۱۰ و ۱۱). نتایج حاصل این مطلب را بیان می‌کند که استفاده از پارامترهای تراز سنگ بستر، دبی، افت آب‌های زیرزمینی و زمین‌شناسی و عملگرهای $\text{sqr}, \text{exp}, \text{Ln}, ^2, ^3, \text{Rt}, \text{sin}, \text{cos}, \text{Atan}, \div, \times, -, +$ منجر به بهبود عملکرد مدل و انطباق عالی نتایج مدل‌سازی با نتایج واقعی خواهد شد.

شکل ۱۲ میزان تأثیرگذاری هر یک از پارامترها در سناریوی ۱ را نشان می‌دهد. بر این اساس پارامتر افت آب‌های زیرزمینی بیشترین تأثیر و پارامتر دبی کمترین تأثیر را بر میزان فرونشست زمین در منطقه مورد مطالعه داشته است. نتایج این تحقیق در زمینه تأثیرگذاری زیاد پارامتر افت آب‌های زیرزمینی بر رخداد فرونشست با نتایج تحقیقات (Shadfar et al. 2016) و (Shemshaki et al. 2006) همخوانی و مطابقت دارد.

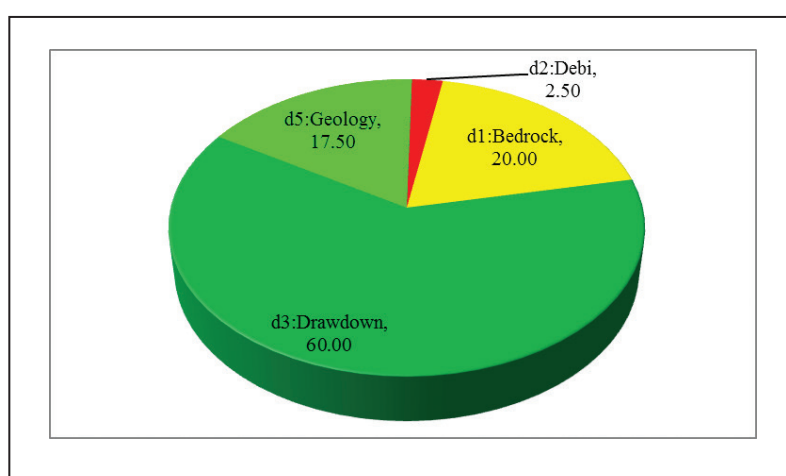
از آنجا که مدل برنامه‌ریزی بیان ژن توانایی به دست آوردن رابطه ریاضی میان



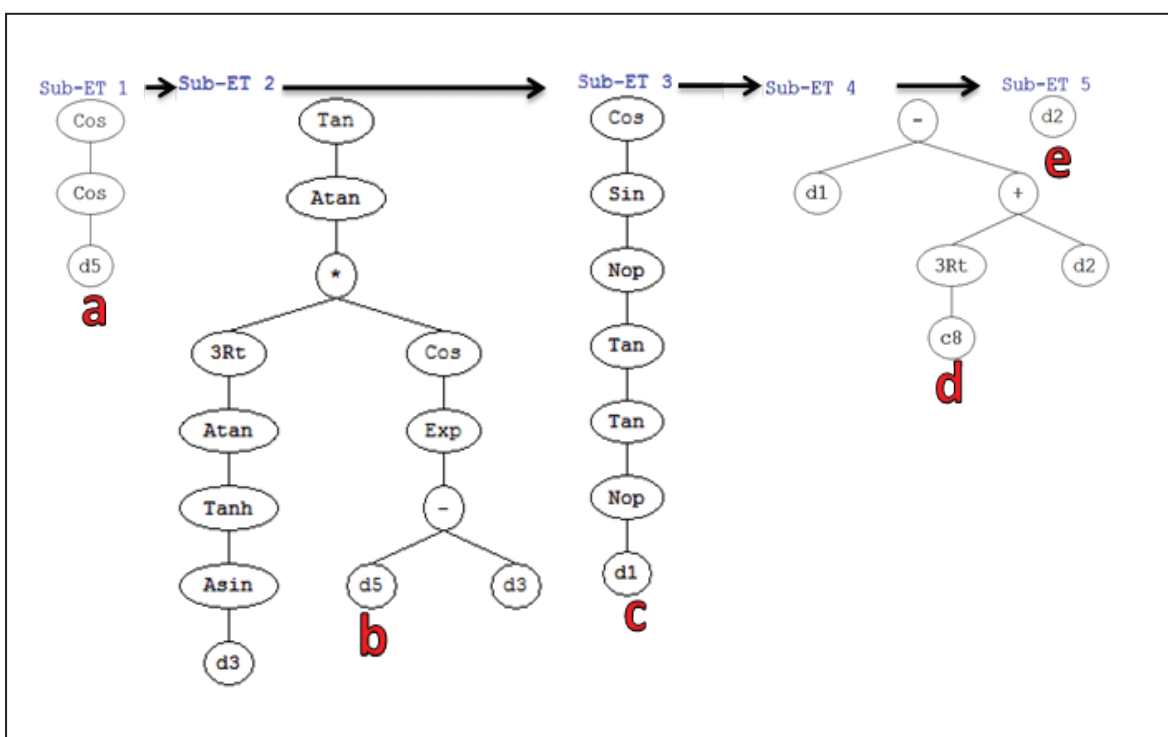
شکل ۱۱- نمودار پرازش بهترین سناریو (سناریوی ۱)، مرحله آزمون.



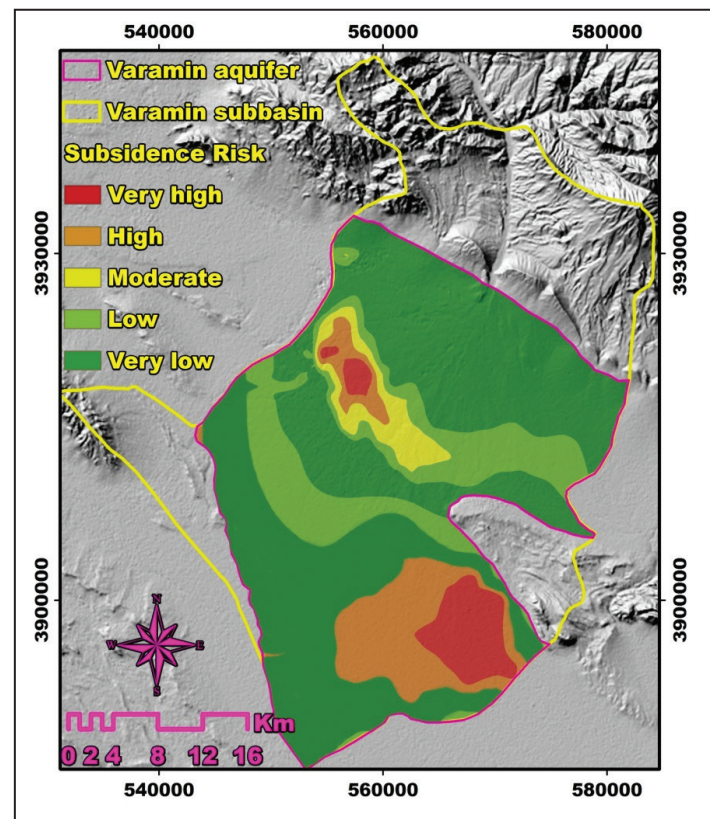
شکل ۱۰- نمودار پرازش بهترین سناریو (سناریوی ۱)، مرحله آموزش.



شکل ۱۲- نمودار درصد تأثیرگذاری هر یک از پارامترها در سناریوی ۱.



شکل ۱۳- ساختار مدل خروجی مطلوب به صورت درختی. (a) زیردرخت مربوط به ژن اول. در این زیردرخت ورودی d5 بوجود آمده است و معادله این زیردرخت بصورت: $SUB(ET1)=Cos.Cos.d5$ ایجاد می شود. (b) زیردرخت مربوط به ژن دوم. در زیردرخت مذکور ورودی های d5 و d3 بوجود آمده و معادله این زیردرخت بصورت: $SUB(ET2)=Tan.Atan.*.3Rt.Cos.Atan.Exp.Tanh.-.Asin.d5.d3.d3$ ایجاد شده است. (c) زیردرخت مربوط به ژن سوم. در زیردرخت مذکور ورودی d1 بوجود آمده و معادله این زیردرخت بصورت: $SUB(ET3)=Cos.Sin.Nop.Tan.Tan.Nop.d1$ ایجاد شده است. (d) زیردرخت مربوط به ژن چهارم. در زیردرخت مذکور ورودی d1 و d2 و ثابت c8 بوجود آمده و معادله این زیردرخت بصورت: $SUB(ET4)=-.d1.+.3Rt.d2.c8$ ایجاد شده است. (e) زیردرخت مربوط به ژن پنجم. در زیردرخت مذکور ورودی d2 بوجود آمده و معادله این زیردرخت بصورت: $SUB(ET5)=d2$ ایجاد شده است.



شکل ۱۴- نقشه پهن بندی خطر فرونشست بر مبنای بهترین سناریوی ارائه شده در مدل GEP.

جدول ۴- رابطه ریاضی حاصل از مدل برنامه‌ریزی بیان ژن بر مبنای سناریوی برتر.

Gene number	The mathematical relation obtained from the model
1	Cos.Cos.d5
2	Tan.Atan.*.3Rt.Cos.Atan.Exp.Tanh.-.Asin.d5.d3.d3
3	Cos.Sin.Nop.Tan.Tan.Nop.d1 -.d1.+.3Rt.d2.c8
4	c8 = 3.78410809656056
5	d2

۵- نتیجه‌گیری

فرونشست مطابقت دارد. با توجه به عملکرد بالای مدل هیبرید برنامه‌ریزی بیان ژن- منطق فازی در انتخاب پارامترهای مؤثر و حذف پارامترهای با تأثیر کم، و همچنین دقت عالی در برآورد میزان فرونشست، استفاده از این مدل در تحقیقات آتنی پدیده فرونشست زمین در دیگر نقاط کشور پیشنهاد می شود.

سپاسگزاری

نویسنده‌گان بر خود لازم می‌دانند تا از جانب آقایان دکتر شمشکی و دکتر مرسلی و سرکار خانم دکتر روستایی در سازمان زمین‌شناسی و اکتشافات معدنی کشور و همچنین آقایان دکتر حیدریان و دکتر مختاری در شرکت آب منطقه‌ای تهران به خاطر همکاری و در اختیار قرار دادن بخشی از اطلاعات مورد نیاز این تحقیق و همچنین از داوران محترم برای مطالعه دقیق این مقاله و بیان نظرات ارزشمندانش جهت بهبود آن سپاسگزاری نمایند.

در این مقاله سعی بر آن شد تا با استفاده از رویکردهای جدید، برای اولین بار عملکرد مدل هیبرید برنامه‌ریزی بیان ژن- منطق فازی جهت برآورد خطر رخداد فرونشست زمین و عوامل مؤثر بر آن در آبخوان ورامین با استفاده از داده‌های حاصل از تصاویر رادار مورد ارزیابی قرار گیرد. نتایج مطالعه حاضر نشان داد که براساس مقدار سنجنده‌های آماری در هر دو فاز آموزش و آزمون، سناریوی ۱ با پارامترهای ورودی تراز سنگ بستر، دبی، افت سطح آب‌های زیرزمینی، زمین‌شناسی و عملگرهای رخداد فرونشست زمین بود. همچنین نتایج نشان داد که از بین پارامترهای مورد مطالعه، ۴ پارامتر تراز سنگ بستر، دبی، افت سطح آب‌های زیرزمینی، زمین‌شناسی تأثیر بسزایی در رخداد فرونشست زمین آبخوان ورامین دارند که از میان آنها پارامتر افت سطح آب‌های زیرزمینی، دارای بیشترین تأثیر است. این نتیجه با تحقیقات قبلی انجام شده در این آبخوان در رابطه با تأثیر زیاد افت سطح آب زیرزمینی بر رخداد

References

- Abdollahi, S., Pourghasemi, H. R., Ghanbarian, G. A. and Safaeian, R., 2018- Prioritization of effective factors in the occurrence of land subsidence and its susceptibility mapping using an SVM model and their different kernel functions. *Bulletin of Engineering Geology and the Environment*, 78(6), 4017–4034. <https://doi.org/10.1007/s10064-018-1403-6>.
- Alimohammadi, A., 2009- Provision and preparation of provincial planning plan, Studies of natural and environmental resources, Analysis of the status of geology, mineral resources and soil, Deputy of Planning, Tehran Governorate, Iran.
- Atarzadeh, A. A., Tavana, B. and Abrazi, B., 2014- Quantitative and contamination studies of Varamin aquifer (Groundwater studies). Yekom Consulting Engineering.
- Ayalew, L., Yamagishi, H., Marui, H. and Kanno, T., 2005- Landslides in Sado Island of Japan: Part II. GIS-based susceptibility mapping with comparisons of results from two methods and verifications. *Engineering Geology*, 81(4), 432-445. <https://doi.org/10.1016/j.enggeo.2005.08.004>.
- Behyari, M., Alizadeh, A. and Mahmoodi, S., 2017- Evaluation of the effect active structures on land subsidence risk using multi-criteria decision models. *Journal of Advanced Applied Geology*, 7(24), 49-56. <https://doi.org/10.22055/aag.2017.13229>.
- Berberian, M. and King, G. C. P., 1981- Towards a paleogeography and tectonic evolution of Iran. *Canadian Journal of Earth Sciences*, 18(2), 210-265. <https://doi.org/10.1139/e81-019>.
- Burbey, T. J., 2002- The influence of faults in basin-fill deposits on land subsidence, Las Vegas Valley, Nevada, USA. *Hydrogeology Journal*, 10(5), 525–538. <https://doi.org/10.1007/s10040-002-0215-7>.
- Calderhead, A. I., Therrien, R., Rivera, A., Martel, R. and Garfias, J., 2011- Simulating pumping-induced regional land subsidence with the use of InSAR and field data in the Toluca Valley, Mexico. *Advances in Water Resources*, 34(1), 83-97. <https://doi.org/10.1016/j.advwatres.2010.09.017>.
- Chanapathi, T., Thatikonda, S., Pandey, V. P. and Shrestha, S., 2019- Fuzzy-based approach for evaluating groundwater sustainability of Asian cities. *Sustainable Cities and Society*, 44, 321-331. <https://doi.org/10.1016/j.scs.2018.09.027>.
- Chen, B., Gong, H., Lei, K., Li, J., Zhou, C., Gao, M., Guan, H. and Lv, W., 2019- Land subsidence lagging quantification in the main exploration aquifer layers in Beijing plain, China. *International Journal of Applied Earth Observation and Geoinformation*, 75, 54-67. <https://doi.org/10.1016/j.jag.2018.09.003>.
- Chen, Y., Shu, L. and Burbey, T. J., 2013- Composite Subsidence Vulnerability Assessment Based on an Index Model and Index Decomposition Method. *Human and Ecological Risk Assessment: An International Journal*, 19(3), 674-698. <http://dx.doi.org/10.1080/10807039.2012.691405>.
- Choi, J. K., Kim, K. D., Lee, S. and Won, J. S., 2010- Application of a fuzzy operator to susceptibility estimations of coal mine subsidence in Taebaek City, Korea. *Environmental Earth Sciences*, 59(5), 1009–1022. <https://doi.org/10.1007/s12665-009-0093-6>.
- Ferreira, C., 2001- Gene expression programming: a new adaptive algorithm for solving problems. *arXiv preprint cs/0102027*. <http://www.gene-expression-programming.com/webpapers/GEP.pdf>.
- Ferreira, C., 2006- Gene expression programming: mathematical modeling by an artificial intelligence. *Studies in Computational Intelligence*, 21. Springer. <https://doi.org/10.1007/3-540-32849-1>.
- Galloway, D. L. and Burbey, T. J., 2011- Review: Regional land subsidence accompanying groundwater extraction. *Hydrogeology Journal*, 19(8), 1459–1486. <https://doi.org/10.1007/s10040-011-0775-5>.
- Gu, T. and Wang, G., 2010- Application of fuzzy neural networks for predicting seismic subsidence coefficient of loess subgrade, 2010 Sixth International Conference on Natural Computation, pp. 1556-1559. <https://doi.org/10.1109/ICNC.2010.5583718>.
- Hu, R. L., Yue, Z. Q., Wang, L. C. and Wang, S. J., 2004- Review on current status and challenging issues of land subsidence in China. *Engineering Geology*, 76(1), 65-77. <https://doi.org/10.1016/j.enggeo.2004.06.006>.
- Hyndman, R. J. and Koehler, A. B., 2006- Another look at measures of forecast accuracy. *International Journal of Forecasting*, 22(4), 679-688. <https://doi.org/10.1016/j.ijforecast.2006.03.001>.
- IIEES, 2010- An analysis of source parameters of earthquakes in Tehran region. *International Institute of Earthquake Engineering and Seismology*. <http://www.iiees.ac.ir/en/?s=varamin>.
- Karsli, F., Atasoy, M., Yalcin, A., Reis, S., Demir, O. and Gokceoglu, C., 2009- Effects of land-use changes on landslides in a landslide-prone area (Ardesen, Rize, NE Turkey). *Environmental Monitoring and Assessment*, 156, 241. <https://doi.org/10.1007/s10661-008-0481-5>.

- Kim, K., Lee, S. and Oh, H., 2009- Prediction of ground subsidence in Samcheok City, Korea using artificial neural networks and GIS. *Environmental Geology*, 58(1), 61-70. <https://doi.org/10.1007/s00254-008-1492-9>.
- Lashkaripour, G., Rostami barani, H., Kohandel, A. and Torshizi, H., 2006- Decline in groundwater levels and land subsidence in the kashmar plain, International Conference on Earth sciences, Tehran, Iran. <https://www.researchgate.net/publication/294688542> Decline in groundwater levels and land ubsidence in the Kashmar plain
- Lehmann, E.L. and Casella, G., 1998- Theory of point estimation (2nd ed.), Springer-Verlag. New York <https://doi.org/10.1007/b98854>.
- Lixin, Y., Fang, Z., He, X., Shijie, C., Wei, W. and Qiang, Y., 2011- Land subsidence in Tianjin, China. *Journal of Environmental Earth Sciences*, 62(6), 1151–1161. <https://doi.org/10.1007/s12665-010-0604-5>.
- Mahmoudpour, M., Khamehchiyan, M., Nikudel, M. and Gassemi, M., 2013- Characterization of regional land subsidence induced by groundwater withdrawals in Tehran, Iran. *Geopersia*, 3(2), 49-62. <https://doi.org/10.22059/jgeope.2013.36014>.
- Minderhoud, P. S. J., Coumou, L., Erban, L. E., Middelkoop, H., Stouthamer, E. and Addink, E. A., 2018- The relation between land use and subsidence in the Vietnamese Mekong delta. *Science of The Total Environment*, 634, 715-726. <https://doi.org/10.1016/j.scitotenv.2018.03.372>.
- Mohebbi Tafreshi, A., Mohebbi Tafreshi, G. and Bijeh Keshavarzi, M. H., 2018- Qualitative zoning of groundwater to assessment suitable drinking water using fuzzy logic spatial modelling via GIS. *Water and Environment Journal*, 32(4), 607-620. <http://dx.doi.org/10.1111/wej.12358>.
- Mokhtari, H. and Espahbod, M., 2009- The Investigation of hydrodynamic parameters potentiality of the Varamin Plan regarding the variation of salinity gradient *Journal of the Earth*, 4(2), 27-47. <https://www.sid.ir/En/Journal/ViewPaper.aspx?ID=202038>.
- Motagh, M., Djamour, Y., Walter, T., Wetzel, H., Zschau, J. and Arabi, S., 2007- Land subsidence in Mashhad Valley, northeast Iran: results from InSAR, levelling and GPS. *Geophysical Journal International*, 168(2), 518-526. <https://doi.org/10.1111/j.1365-246X.2006.03246.x>.
- Mousavi, S. M., Shamsai, A., Naggar, M. H. E. and Khamehchian, M., 2001- A GPS-based monitoring program of land subsidence due to groundwater withdrawal in Iran. *Canadian Journal of Civil Engineering*, 28(3), 452-464. <https://doi.org/10.1139/l01-013>.
- Nakhaei, M., Mohebbi Tafreshi, A. and Mohebbi Tafreshi, G., 2019- Modeling and predicting changes of TDS concentration in Varamin aquifer using GMS software. *Journal of Advanced Applied Geology*, 9(31), 25-37. <https://doi.org/10.22055/aag.2019.27539.1903>.
- Nejatijahromi, Z., Nassery, H., Hosono, T., Nakhaei, M., Alijani, F. and Okumura, A., 2019- Groundwater nitrate contamination in an area using urban wastewaters for agricultural irrigation under arid climate condition, southeast of Tehran, Iran. *Agricultural Water Management*, 221, 397-414. <https://doi.org/10.1016/j.agwat.2019.04.015>.
- NGOI, 2008- Topography map (1:50000). National Geographic Organization of Iran. <http://www.ngo-org.ir/>
- Oh, H. J. and Lee, S., 2010- Assessment of ground subsidence using GIS and the weights-of-evidence model. *Engineering Geology*, 115(1), 36-48. <https://doi.org/10.1016/j.enggeo.2010.06.015>.
- Oh, H. J., Syifa, M., Lee, C. W. and Lee, S., 2019- Land Subsidence Susceptibility Mapping Using Bayesian, Functional, and Meta-Ensemble Machine Learning Models. *Applied Sciences*, 9(6), 1-17. <https://doi.org/10.3390/app9061248>.
- Pacheco, J., Arzate, J., Rojas, E., Arroyo, M., Yutsis, V. and Ochoa, G., 2006- Delimitation of ground failure zones due to land subsidence using gravity data and finite element modeling in the Querétaro valley, México. *Engineering Geology*, 84(3), 143-160. <https://doi.org/10.1016/j.enggeo.2005.12.003>.
- Parhizkar, S., Ajdari, K., Kazemi, G.A. and Emamgholizadeh, S., 2015- Predicting water level drawdown and assessment of land subsidence in Damghan aquifer by combining GMS and GEP models. *Geopersia*, 5(1), 63-80. <https://doi.org/10.7508/geop.2015.01.007>.
- Park, I., Choi, J., Jin Lee, M. and Lee, S., 2012- Application of an adaptive neuro-fuzzy inference system to ground subsidence hazard mapping. *Computers & Geosciences*, 48, 228-238. <https://doi.org/10.1016/j.cageo.2012.01.005>.
- Phien-wej, N., Giao, P. H. and Nutalaya, P., 2006- Land subsidence in Bangkok, Thailand. *Engineering Geology*, 82(4), 187-201. <https://doi.org/10.1016/j.enggeo.2005.10.004>.
- Putra, D. P. E., Setianto, A., Keokhampui, K. and Fukuoka, H., 2011- Land Subsidence Risk Asseessment in Karst Region, Case Study: Rongkop, Gunung Kidul, Yogyakarta-Indonesia *Mitteilungen zur Ingenieurgeologie und Hydrogeologie-Festschrift zum 60. Geburtstag von Univ.Prof. Dr. Rafiq Azzam.*, RWTH Aachen University, German, pp. 39-50. <https://repository.ugm.ac.id/id/eprint/134971>.
- Rafie, M. and Samimi Namin, F., 2015- Prediction of subsidence risk by FMEA using artificial neural network and fuzzy inference system. *International Journal of Mining Science and Technology*, 25(4), 655-663. <https://doi.org/10.1016/j.ijmst.2015.05.021>.

- Raines, G. L., Sawatzky, D. L. and Bonham-Carter, G. F., 2010- New fuzzy logic tools in ArcGIS 10, ArcGIS 10.1. <http://www.esri.com/news/arcuser/0410/files/fuzzylogic.pdf>.
- Rajabi, A. M. and Ghorbani, E., 2016- Land subsidence due to groundwater withdrawal in Arak plain, Markazi province, Iran. Arabian Journal of Geosciences, 9(738), 1-7. <https://doi.org/10.1007/s12517-016-2753-7>.
- Ranjbar, A. and Ehteshami, M., 2019- Development of an Uncertainty Based Model to Predict Land Subsidence Caused by Groundwater Extraction (Case Study: Tehran Basin). Geotechnical and Geological Engineering, 37(4), 3205–3219. <https://doi.org/10.1007/s10706-019-00837-w>.
- Rezaee, P., 2016- Forecast locations at risk of subsidence plain Kermanshah. The Journal of Spatial Planning, 20(1), 235-251. <http://journals.modares.ac.ir/article-21-4935-en.html>.
- Sadeghi, A., Fonodi, M., Davari, M., Nourozi, M., Zakili, F. and Keihani, A., 2006- One hundred thousandth geology map of Varamin, Geological Survey and Mineral Exploration of Iran. (in persian). <https://gsi.ir/fa/map/207/-D9%88%D8%B1%D8%A7%D9%85%DB%8C%D9%86>
- SCI, 2019- Population of the country in terms of gender in urban and rural areas. Statistical Center of Iran. <https://www.amar.org.ir/english>.
- SCWMRI, 2010- Erosion, land use and soil maps (1:250000). Soil Conservation and Watershed Management Research Institute. <https://www.environmental-expert.com/companies/soil-conservation-and-watershed-management-research-institute-scwmri-24937>
- Sentinel-1, 2015- <https://sentinel.esa.int/web/sentinel/missions/sentinel-1>.
- Shadfar, S., Nasiri, E., Chitgar, S. and Ahmadi, A., 2016- Hazard zonation of Land subsidence using Analytical Hierarchy Process (AHP) case study (city of Buin Zahra). Territory, 12(48), 101-116. http://sarzamin.srbiau.ac.ir/article_9656.html.
- Shemshaki, A., Boulourchi, M. J. and Entezam Soltani, I., 2006- The study of land subsidence in Tehran plain and its casual factors, The 24th Earth Sciences meeting, Geological survey and mineral explorations of Iran. https://www.civilica.com/Paper-GSI24-GSI24_071.html.
- Suh, J., Choi, Y. E., Park, H. D., Yoon, S. H. and Go, W. R., 2013- Subsidence Hazard Assessment at the Samcheok Coalfield, South Korea: A Case Study Using GIS. Environmental and Engineering Geoscience, 19(1), 69-83. <https://publons.com/journal/1048/geology>.
- Tien Bui, D., Shahabi, H., Shirzadi, A., Chapi, K., Pradhan, B., Chen, W., Khosravi, K., Panahi, M., Bin Ahmad, B. and Saro, L., 2018- Land Subsidence Susceptibility Mapping in South Korea Using Machine Learning Algorithms. Sensors (Basel), 18(8), 1-20. <https://doi.org/10.3390/s18082464>.
- TRWA, 2018- Report of Groundwater Resources Studies in Varamin Area (in Persian).Tehran Regional Water Authority.
- UNESCO, 2018-Proposal for the establishment of the land subsidence international initiative (LaSII). United Nations Educational, Scientific and Cultural Organization, International Hydrological Programme, Paris. https://www.google.com/url?sa=t&rct=j&q=&esrc=s&source=web&cd=2&cad=rja&uact=8&ved=2ahUKEwit4vSPqs3jAhUisaQKHe_NA-kQFjABegQIAhAC&url=https%3A%2F%2Fen.unesco.org%2Fsites%2Fdefault%2Ffiles%2Fic-xiii_ref_5_land_subsidence.pdf&usg=AOvVaw0_RGemY4ifoJiBQDz7dBnN.
- Wang, G., Qin, L., Li, G. and Chen, L., 2009- Landfill site selection using spatial information technologies and AHP: A case study in Beijing, China. Journal of Environmental Management, 90(8), 2414-2421. <https://doi.org/10.1016/j.jenvman.2008.12.008>.
- Wang, H. W., Lin, C. W., Yang, C. Y., Ding, C. F., Hwung, H. H. and Hsiao, S. C., 2018- Assessment of Land Subsidence and Climate Change Impacts on Inundation Hazard in Southwestern Taiwan. Irrigation and Drainage, 67(S1), 26-37. <https://doi.org/10.1002/ird.2206>.
- Yu, H. M., Wu, Y. X., Shen, J. S. and Zhou, A. N., 2018- Assessment of Social-Economic Risk of Chinese Dual Land Use System Using Fuzzy AHP. Sustainability, 10(7): 2541. <https://doi.org/10.3390/su10072451>.
- Zadeh, L. A., 1965- Fuzzy Sets. Inf. Control., 8(353), 338–353. [https://doi.org/10.1016/S0019-9958\(65\)90241-X](https://doi.org/10.1016/S0019-9958(65)90241-X).

Evaluation of Accuracy of Hybrid Model of Gene Expression Planning - Fuzzy Logic in Estimation of Land Subsidence Risk

Gh. Mohebbi Tafreshi^{1*}, M. Nakhaei² and R. Lak³

¹Ph.D. Student, Department of Applied Geology, Faculty of Earth Sciences, Kharazmi University, Tehran, Iran

² Professor, Department of Applied Geology, Faculty of Earth Sciences, Kharazmi University, Tehran, Iran

³Associate Professor, Research Institute for Earth Sciences, Geological Survey of Iran, Tehran, Iran

Received: 2019 September 01

Accepted: 2019 October 13

Abstract

Land subsidence is a nonlinear and complex process that data-driven computational intelligence models can model it. In this study, the accuracy and efficiency of hybrid fuzzy logic gene expression planning hybrid model in estimating land subsidence risk and its factors in Varamin aquifer standardized. For this purpose, after selecting and gathering information from 15 factors affecting the subsidence event based on research records in the GIS environment, they were first standardized by fuzzy membership functions and then gene expression programming method was used to integrate the layers. Finally, using seven important statistical benchmarks based on radar image data, the model was validated in 4 different scenarios in input data and operators. The results showed scenario 1 with input parameters of bedrock level, Debi of pumping wells, groundwater drawdown, geology and operators, +, -, ×, ÷, sqr, exp, Ln, $\wedge 2$, $\wedge 3,3Rt$, sin, cos, Atan, is the best model in training and testing. Accordingly, the groundwater drawdown parameter had the highest effect on land subsidence in the study area.

Keywords: Fuzzy logic, Gene Expression Programming (GEP), Geographical Information System (GIS), Land subsidence, Varamin aquifer.

For Persian Version see pages 163 to 176

*Corresponding author: Gh. Mohebbi Tafreshi; E-mail: std_gh.mohebbi@khu.ac.ir